

## بررسی یخندان و لغزندگی در سطح جاده‌ی سندج - همدان با استفاده از ماتریس وضعیت‌های اقلیمی

دکتر حسین محمدی

دانشیار گروه جغرافیا، دانشگاه تهران

پیمان محمودی

کارشناس ارشد جغرافیای طبیعی، اقلیم‌شناسی

### چکیده

از میان عوامل محیطی، عامل اقلیم و پدیده‌های جوی جزء تأثیرگزارترین عوامل روی اینمی حمل و نقل به حساب می‌آیند که خطرناک‌ترین آن‌ها یخندان می‌باشد. بدین منظور برای مطالعه توزیع زمانی و مکانی پدیده یخندان در مسیر سندج - همدان از ماتریس وضعیت‌های اقلیمی استفاده شد. برای استفاده از این ماتریس، از قسمت خدمات ماشینی سازمان هواشناسی کشور داده‌های روزانه سه پارامتر دما، بارش و رطوبت نسبی سه ایستگاه سینوبیتیک سندج، قزوین و همدان برای یک دوره ده ساله دریافت شد و مورد تجزیه و تحلیل قرار گرفت که نتایج زیر به دست آمد.

بر اساس ماتریس وضعیت‌های اقلیمی، شرایط اقلیمی N5 (میانگین دمای روزانه بین ۲ تا ۶- درجه سانتی‌گراد به همراه رطوبت نسبی بیش از ۸۰٪ یا بارش کمتر از ۲ میلی‌متر) و N6 (میانگین دمای روزانه بین ۲ تا ۶- درجه سانتی‌گراد به همراه بارش بیش از ۲ میلی‌متر) جزء شرایط خطرناک برای اینمی تردد و سائبنت نقلیه در مسیر سندج- همدان می‌باشند، که بیشترین تمرکز آن‌ها در ماه‌های زانویه (۹ روز)، فوریه (۵ روز) و دسامبر (۴ روز) می‌باشد. یخندان در منطقه اواخر سپتامبر شروع می‌شود و اوایل ماه مارس به پایان می‌رسد. اما یخندانی که برای اینمی حمل و نقل ایجاد خطر می‌کند خیلی دیرتر یعنی در ماه دسامبر روی می‌دهد.

**واژگان کلیدی:** یخندان، اینمی حمل و نقل، ماتریس وضعیت‌های اقلیمی، مسیر سندج به همدان.

## مقدمه

ایمنی عبور و مرور یکی از اصول مهندسی ترافیک و برنامه‌ریزی حمل و نقل می‌باشد به طوری که در کشورهای توسعه یافته همگام با توسعه‌ی سایر بخش‌های مهندسی ترافیک، موضوع ایمنی راه نیز مورد توجه قرار گرفته و با انجام مطالعات و تمهیدات لازم سعی می‌شود که تصادفات و پیامدهای ناشی از آن را تا حد ممکن به حداقل برسانند، اما متأسفانه در اکثر کشورهای توسعه نیافته تعداد و نرخ تصادفات ناشی از عدم توجه به اصول ایمنی و عوامل مؤثر بر آن همواره سیر صعودی داشته است، چنان که کشور ایران با بیشترین نرخ تصادفات در جهان مقام اول را در بین سایر کشورهای جهان به خود اختصاص داده است. از میان عوامل تأثیرگذار روی ایمنی حمل و نقل، پدیده‌های اقلیمی دارای اهمیت بالایی هستند. اگر چه این پدیده‌ها اجتناب‌ناپذیر و در مواردی خارج از توان و اختیار انسان می‌باشند اما بعضی از آن‌ها را می‌توان با اعمال روش‌هایی در طراحی راه و بعضی از آن‌ها را با حضور به موقع عوامل راهداری در محل می‌توان به حداقل رساند. از بین عناصر و پدیده‌های اقلیمی که در برنامه‌ریزی، طراحی و نگهداری جاده‌ها بیشترین توجه به آن می‌شود پدیده یخ‌بندان است، زیرا یخ‌بندان جزء آن دسته از پدیده‌های اقلیمی است که سالانه خسارات گسترده‌ای را در زمینه‌های مختلف از جمله حمل و نقل ایجاد می‌کند.

یخ‌بندان به شرایطی از هوا گفته می‌شود که در آن دمای هوا به صفر یا زیر صفر درجه سانتی‌گراد می‌رسد که دلیل آن کاهش سریع انرژی از سطح منطقه است که بیشترین توزیع را در فصل زمستان دارد. یخ‌بندان‌ها را از لحاظ منشا وقوع به دو دسته کلی تقسیم می‌کنند:

- ۱- یخ‌بندان‌های تابشی
- ۲- یخ‌بندان‌های توده‌ای

در یخ‌بندان‌های تابشی با فرا رسیدن غروب خورشید و نزدیک شدن شب، زمین شروع به سرد شدن می‌کند و لایه‌های هوای مجاور خود را نیز سرد می‌کند. این لایه با سرد شدن خود موجب سرد شدن لایه‌های بالاتر می‌گردد. در چنین شرایطی توده‌های هوایی پر فشار نیز با حرکت ملایم و هوای نسبتاً سرد و خشک خود مؤثر واقع می‌شوند. وارنگی دما در چنین وضعیتی باعث سردر شدن هوای لایه مجاور خاک از لایه‌های هوایی بالایی می‌گردد و چون آسمان صاف است و هیچ گونه تلاطمی از طریق وزش باد پیش نمی‌آید، وضعیت با ثباتی برای سرد شدن پدید می‌آید که معمولاً تا قبل از برآمدن خورشید ادامه می‌یابد.

یخ‌بندان‌های توده‌ای با ورود توده‌های هوای سرد به یک منطقه حاصل می‌شوند. سرمای ناشی از ورود این توده‌های هوا به فرارفت هوا مخصوص است که امکان دارد طی شب یا روز حادث شوند. این سرما معمولاً پس از عبور یک توده هوایی کم فشار و یا یک جبهه هوای سرد توسعه یافته و استیلا می‌یابد و عمده‌تاً در پیش‌اپیش یک توده هوایی پر فشار قرار دارد و ممکن است تا چند روز نیز دوام آورد. بنابراین وجود آسمان صاف و آرام، کمبود فشار بخار آب در لایه‌های فوقانی سطح زمین، ضرایب قابلیت هدایت حرارتی و حرارت ویژه لایه‌های نزدیک به سطح زمین از جمله عوامل سرد شدن سطح زمین است ( محمودی، ۱۳۸۴).

بعد از آشنایی کلی با پدیده یخ‌بندان و انواع آن لزوم بررسی پایگاه مکانی یخ‌بندان مطرح می‌گردد. این پایگاه مکانی شامل جاده‌ها و محورهای ارتباطی است. برف و یخ‌بندان سطح جاده‌ها نقش مؤثری در کاهش اصطکاک بین سطح جاده‌ها و تایر اتومبیل‌ها دارند. در مناطقی که این پدیده از فراوانی بیشتری برخوردار است مشکل وقتی شدت می‌یابد که رانندگان نسبت به رانندگی در چنین شرایطی آگاهی کافی نداشته باشند. از

تأثیرات دیگر یخبندان تأثیر آن بر روی روسازی جاده‌ها می‌باشد. اصولاً برای ایجاد یخبندان سطح جاده‌ها باید سه عامل با یکدیگر عمل کنند و در صورت نبود حتی یک عامل پدیده یخبندان اتفاق نمی‌افتد (ادبی، ۱۳۷۳).

این سه عامل عبارت‌اند از:

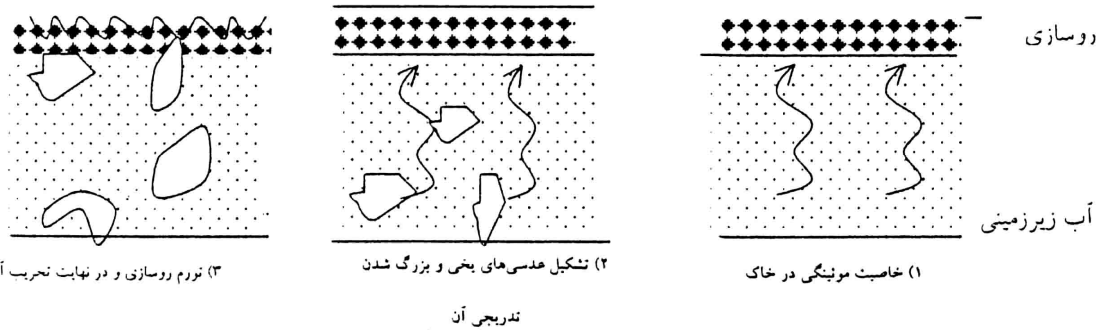
- هوای سرد زیر صفر درجه سانتی گراد

- خاک نسبتاً ریزدانه که دارای خاصیت موینگی خوبی باشد (خاک‌های حساس و یا خاک‌هایی که دارای بیش از ۳٪ دانه‌های با قطر کوچکتر از ۰/۰۲ میلی متر هستند)

- منابع آب زیرزمینی در عمق حداقل سه متر

اکنون اگر سه عامل فوق الذکر دست به دست هم دهنند تورم و تخریب روسازی جاده امکان پذیر می‌گردد. تورم عبارت است از بالا آمدن قسمتی از سطح روسازی آسفالت در اثر افزایش حجم خاک بستر روسازی و یا مصالح آن (عامری و همکاران، ۱۳۷۲).

این تورم به دو صورت مستقیم و غیر مستقیم روی می‌دهد که در شکل یک به صورت شماتیک نشان داده شده است.



شکل ۱- مراحل تورم روسازی در نتیجه آب‌های زیرزمینی و یخبندان(حیبی نوخدان، ۱۳۸۳)

در این حالت رطوبت موجود در منابع آب زیرزمینی در اثر خاصیت موینگی خاک بالا آمده و پس از قرار گرفتن در مجاورت قسمت‌های سرد فوقانی به یخ تبدیل می‌شوند و عدسی‌های یخی را تشکیل می‌دهند. حجم آب به علت یخ زدن افزایش پیدا می‌کند که به افزایش حجم خاک و مصالح روسازی منجر می‌گردد. به سبب تشکیل کریستال‌های یخی مقدار بیشتری از ذرات آب از منبع آب زیرزمینی جذب می‌شوند. در اثر این پدیده ضخامت عدسی‌های یخی مرتباً افزایش پیدا کرده و تورم لحظه به لحظه بیشتر می‌شود تا این که خرابی روسازی شکل می‌گیرد و ترک‌های به وجود آمده در سطح روسازی نیز تحت تأثیر پدیده ذوب و انجماد به تدریج وسعت پیدا می‌کند و باعث کاهش روسازی راه می‌گردد(حیبی نوخدان، ۱۳۸۳)، (شکل ۲).

در مورد ارتباط یخبندان و ایمنی حمل و نقل تحقیقات زیادی در جهان صورت گرفته است. از جمله این تحقیقات می‌توان به کار تحقیقاتی یوگن تکل (۱۹۹۱) اشاره نمود که ویژگی‌های وقوع یخبندان بر روی پل‌ها و جاده‌ها را از دیدگاه کارکنان تعمیر و نگهداری سازمان حمل و نقل آیوا که از طریق پرسشنامه‌هایی که توسط این کارکنان تکمیل شده بود به همراه تجزیه و تحلیلی که روی بیش از ۴۰۰۰ دیدبانی یخبندان در این ایالت صورت داده بود، مورد بررسی قرار داد. این داده‌ها نشان می‌دهند که میانگین تعداد سالانه وقوع یخبندان‌ها روی پل‌ها دامنه تغییراتی در حدود ۱۲ تا ۵۸ مورد و روی جاده‌ها دامنه تغییراتی در حدود ۷ تا ۳۵ مورد برای

سرتاسر ایالت آیوا را شامل می‌شوند. همچنین تحت حمایت این سازمان (سازمان حمل و نقل آیوا) سیستمی خبره برای پیش‌بینی‌های ۲۰ ساعته یخ‌بندان طراحی شد که دارای ۳۲ پارامتر و ۳۳ قانون بود که از ۳ آیتم اطلاعاتی و ۷ متغیر پیش‌بینی بهره می‌برد. از این سیستم می‌توان در مدیریت مشاهدات بهره گرفت.

جودی کارسون و فردمنرینگ (۱۹۹۹) نیز به بررسی علائم هشدار دهنده یخ‌بندان به روی شدت و فراوانی تصادفات در جاده‌های دارای یخ‌بندان و برف پرداختند. این پژوهش به مطالعه تأثیرگذاری علائم هشدار دهنده یخ‌بندان در فراوانی و شدت تصادفات در ایالت واشنگتن می‌پردازد. آنان ویژگی تصادفات، وضعیت جاده‌ها و ویژگی‌های فضایی و مکانی را معین نموده و به این نتیجه رسیدند که مکان‌یابی علائم هشدار دهنده یخ‌بندان و خود علائم هشدار دهنده جاده‌ای و کنار جاده‌ای می‌تواند حوادث مرتبط با یخ‌بندان را کاهش دهد. جان تورنر (۲۰۰۲) در مورد درستی و یا نادرستی تصمیمات اتخاذ شده در مورد نمک‌پاشی جاده‌ها در فصل سرد سال در وضعیت یخ‌بندان، به یک روش ساده نظارتی بر کارهای اجرایی دست یافت. او با استفاده از داده‌های به دست آمده از ایستگاه‌های (RWIS) تعداد شب‌هایی را که دمای سطح جاده پایین‌تر از ۴ درجه سانتی‌گراد بودند مشخص کرده و سپس شاخص زمستانی را بر اساس فرمول‌ها و روش‌های آماری - ریاضی محاسبه و نقشه‌های لازم را با استفاده از سیستم اطلاعات جغرافیایی تهیه نمود.

حبیبی نوخدان (۱۹۹۹) نیز در تحقیقی به بررسی تأثیر پدیده‌های اقلیمی بر روی تردد و تصادفات پرداخت. او بعد از استخراج تصادفات به تفکیک روز، ساعت و بررسی ارتباط هر یک از تصادفات با شرایط جوی به نتایجی دست یافت. به طوری که با بررسی فراوانی تصادفات و پدیده‌های اقلیمی مشخص شد که در ماه مارس ۲۳۷ مورد متعادل ۲۶ درصد، ماه دسامبر با ۲۰۶ مورد متعادل ۲۲ درصد و زانویه با ۱۷۰ مورد متعادل ۱۸ درصد از ۹۳۱ تصادف، پدیده غالب یخ‌بندان و ریزش برف بوده‌اند و مابقی تصادفات با فراوانی کم‌تر با دیگر پدیده‌های اقلیمی همراه بوده‌اند.

#### موقعیت جغرافیایی مسیر مورد مطالعه

جاده مورد مطالعه به طول ۱۵۳/۷۱۷ کیلومتر در شمال غرب ایران در میان رشته کوه‌های زاگرس در جهت غرب به شرق مرکز دو استان کردستان و همدان را به یکدیگر متصل می‌کند. مسیر مورد نظر با توجه به



شکل ۲- تخریب روسازی آسفالت بر اثر یخ‌بندان و تورم (محمودی، ۱۳۸۳)

نوع توپوگرافی حاکم بر آن دارای ارتفاعات مختلفی است که همین عامل باعث شده است که در طول مسیر، وضعیت‌های گوناگونی را از لحاظ اقلیمی شاهد باشیم. به‌طوری‌که قسمتی از مسیر دارای آب و هوای مرطوب و معتدل و قسمت دیگر آن دارای آب و هوای کوهستانی سرد می‌باشد.

## مواد و روش تحقیق

یخیندان و لغزندگی ناشی از کاهش دما یا بارش باران از عوامل تأثیر گذار روی اینمی حمل و نقل می‌باشد. برای مطالعه‌ی توزیع زمانی و مکانی این پدیده‌ها در طول دوره‌ی سرد سال، نیاز به داده‌های هواشناسی بود که از قسمت خدمات ماشینی سازمان هواشناسی کشور تهیه گردید. این داده‌ها شامل داده‌های ساعتی و روزانه‌ی پارامترهای دما، رطوبت نسبی و بارش سه ایستگاه سینوپتیک سندج، قروه و همدان بودند که مشخصات ایستگاه‌ها در جدول یک آمده است.

جدول ۱- ایستگاه‌های هواشناسی در طول محور سندج - همدان (سازمان هواشناسی کشور، ۱۳۸۳)

نوع ایستگاه	ارتفاع از سطح دریا	موقعیت				نام ایستگاه
		طول جغرافیایی	عرض جغرافیایی			
سینوپتیک	۱۳۷۳	۴۷°	۳۵°	۰۰'	۲۳'	سندج
سینوپتیک	۱۹۰۶	۴۷°	۳۵°	۴۸'	۱۷'	قروه
سینوپتیک	۵/۱۷۴۱	۴۸°	۳۴°	۵۳'	۴۷'	همدان

دوره زمانی ده ساله نیز بر اساس آزمون کافی بودن داده‌ها (روش ماکوس) در سطح احتمال ۹۰ درصد و به ازای درجه آزادی (Y=6) انتخاب گردید.

$$Y = [(4.030t) \log R]^2 + 6$$

نقشه‌های توپوگرافی ۱:۲۵۰۰۰۰ مسیر مورد مطالعه نیز دومین منبع اطلاعاتی برای بررسی یخیندان این مسیر بود.

بعد از جمع‌آوری داده‌ها ابتدا آمار روزانه‌ی دما، بارش و رطوبت نسبی با توجه به اهمیت ماههای سرد سال از روز اول اکتبر تا پایان ماه آوریل به صورت روز شمار مرتب شدند. سپس برای هر یک از روزها، وضعیت بارش، دما و رطوبت نسبی استخراج و در نرم افزار EXCEL ذخیره گردیدند. سپس به منظور تعیین وضعیت اقلیمی هر یک از روزهای مورد مطالعه از ماتریس وضعیت اقلیمی که برای اولین بار توسط یوهانسن در سال ۲۰۰۲ ارائه شده، بهره برده شده است (حبیبی نوختن، ۱۳۸۳)، (جدول ۲).

بر اساس جدول ۲ فراوانی هر یک از وضعیت‌های اقلیمی به صورت روزانه و ماهانه محاسبه و استخراج شدند، سپس تعداد روزهایی که مربوط به هر یک از شرایط اقلیمی برای یک دوره ده ساله (۱۹۹۴ - ۲۰۰۳) بودند شمارش گردیدند. (جدول ۳)

سپس میانگین ده ساله آن‌ها گرفته شد. (جدول ۴).

بعد از آن احتمال وقوع هر یک از وضعیت‌های اقلیمی نه گانه برای هفت ماه دوره‌ی سرد سال مورد محاسبه قرار گرفت (جدول ۵).

### جدول ۲- ماتریس وضعیت‌های اقلیمی (N) (حیبی نوخدان، ۱۳۸۳)

بارش بیش از ۲ میلی متر	روطوت نسبی بیشتر از ۸۰ درصد یا بارش ۹/۱ میلی متر	عدم بارش و رطوبت نسبی کمتر از ۸۰ درصد	بارش و رطوبت دما
N <sub>3</sub> ☒♂	N <sub>2</sub> ☒♂	N <sub>1</sub> Q	دما بیش از ۲ درجه سانتی گراد
N <sub>6</sub> ☒♂	N <sub>5</sub> ☒♂	N <sub>4</sub> ●	دما بین ۲ تا ۶ درجه سانتی گراد
N <sub>9</sub> ☒♂	N <sub>8</sub> ☒♂	N <sub>7</sub> ●	دما کمتر از ۶ درجه سانتی گراد

### جدول ۳- معرفی وضعیت‌های مختلف اقلیمی (N) (حیبی نوخدان، ۱۳۸۳)

N <sub>1</sub> : میانگین دمای روزانه بیش از ۲ درجه سانتی گراد و عدم وجود ریزش‌های جوی و رطوبت نسبی کمتر از ۸۰٪
N <sub>2</sub> : میانگین دمای روزانه بیش از ۲ درجه سانتی گراد به همراه مجموع بارش روزانه ۰-۱/۹ میلی متر و یا رطوبت نسبی بالای ۸۰٪.
N <sub>3</sub> : میانگین دمای روزانه بیش از ۲ درجه سانتی گراد به همراه بارش روزانه بیش از ۲ میلی متر
N <sub>4</sub> : میانگین دمای روزانه بین ۲ تا ۶ درجه سانتی گراد به همراه رطوبت نسبی کمتر از ۸۰٪
N <sub>5</sub> : میانگین دمای روزانه بین ۲ تا ۶ درجه سانتی گراد به همراه رطوبت نسبی بیش از ۸۰٪ یا بارش کمتر از ۲ میلی متر
N <sub>6</sub> : میانگین دمای روزانه بین ۲ تا ۶ درجه سانتی گراد به همراه بارش بیش از ۲ میلی متر
N <sub>7</sub> : میانگین دمای روزانه کمتر از ۶ درجه سانتی گراد و رطوبت نسبی کمتر از ۸۰٪ (عدم بارش)
N <sub>8</sub> : میانگین دمای روزانه کمتر از ۶ درجه سانتی گراد و به همراه رطوبت نسبی بیش از ۸۰٪ یا بارش کمتر از ۲ میلی متر
N <sub>9</sub> : میانگین دمای روزانه کمتر از ۶ درجه سانتی گراد به همراه بارش بیش از ۲ میلی متر

### جدول ۴- مجموع فراوانی سالانه وضعیت‌های مختلف اقلیمی (N<sub>1</sub>-N<sub>9</sub>) در طول دوره‌ی آماری (۱۹۹۴ - ۲۰۰۳)

ایستگاه	عرض جغرافیایی	طول جغرافیایی	ارتفاع به متر	N <sub>1</sub>	N <sub>2</sub>	N <sub>3</sub>	N <sub>4</sub>	N <sub>5</sub>	N <sub>6</sub>	N <sub>7</sub>	N <sub>8</sub>	N <sub>9</sub>
سنندج	۳۵° ۳۳'	۴۷° ۰۰'	۱۳۷۳	۱۲۶۰	۲۰۳	۳۰۵	۱۹۲	۲۶	۳۲	۱۰	۴	۲
قروه	۳۵° ۱۷'	۴۷° ۴۸'	۱۹۰۶	۱۰۴۱	۱۶۲	۲۱۷	۲۸۵	۶۸	۹۹	۴۶	۱۸	۸
همدان	۳۴° ۴۷'	۴۸° ۵۳'	۵/۱۷۴۱	۱۱۱۸	۱۴۸	۲۲۸	۲۲۴	۵۰	۷۴	۱۳	۱۰	۵

**جدول ۵ - میانگین سالانه وضعیت‌های مختلف اقلیمی (N<sub>1</sub>-N<sub>9</sub>) در طول دوره‌ی آماری (۱۹۹۹-۲۰۰۳)**

ایستگاه	عرض جغرافیایی	طول جغرافیایی	ارتفاع به متر	N <sub>1</sub>	N <sub>2</sub>	N <sub>3</sub>	N <sub>4</sub>	N <sub>5</sub>	N <sub>6</sub>	N <sub>7</sub>	N <sub>8</sub>	N <sub>9</sub>
سنندج	۳۵° ۳۳'	۴۷° ۰۰'	۱۳۷۳	۱۲۶	۲۰	۳۰	۱۹	۳	۳	۱	۱	۱
قروه	۳۵° ۱۷'	۴۷° ۴۸'	۱۹۰۶	۱۰۵	۱۶	۲۲	۲۹	۱۰	۹	۵	۳	۴
همدان	۳۴° ۴۷'	۴۸° ۵۳'	۵/۱۷۴۱	۱۱۲	۱۷	۲۳	۲۲	۵	۷	۲	۲	۲

**جدول ۶ - احتمال وقوع هر یکی از وضعیت‌های N سه ایستگاه‌های مورد مطالعه طی دوره‌ی آماری (۱۹۹۴-۲۰۰۳)**

ایستگاه	عرض جغرافیایی	طول جغرافیایی	ارتفاع	N <sub>1</sub>	N <sub>2</sub>	N <sub>3</sub>	N <sub>4</sub>	N <sub>5</sub>	N <sub>6</sub>	N <sub>7</sub>	N <sub>8</sub>	N <sub>9</sub>
سنندج	۳۵° ۳۳'	۴۷° ۰۰'	۱۳۷۳	۵۹/۴	۹/۶	۱۴/۳	۹/۱	۱/۲	۱/۵	۰/۵	۰/۱	۰/۱
قروه	۳۵° ۱۷'	۴۷° ۴۸'	۱۹۰۶	۴۹/۱	۷/۶	۱۰/۲	۱۳/۴	۴/۶	۴/۲	۲/۲	۰/۸	۰/۴
همدان	۳۴° ۴۷'	۴۸° ۵۳'	۵/۱۷۴۱	۵۲/۷	۷/۷	۱۰/۷	۱۰/۶	۲/۴	۳/۵	۰/۶	۰/۴	۰/۲

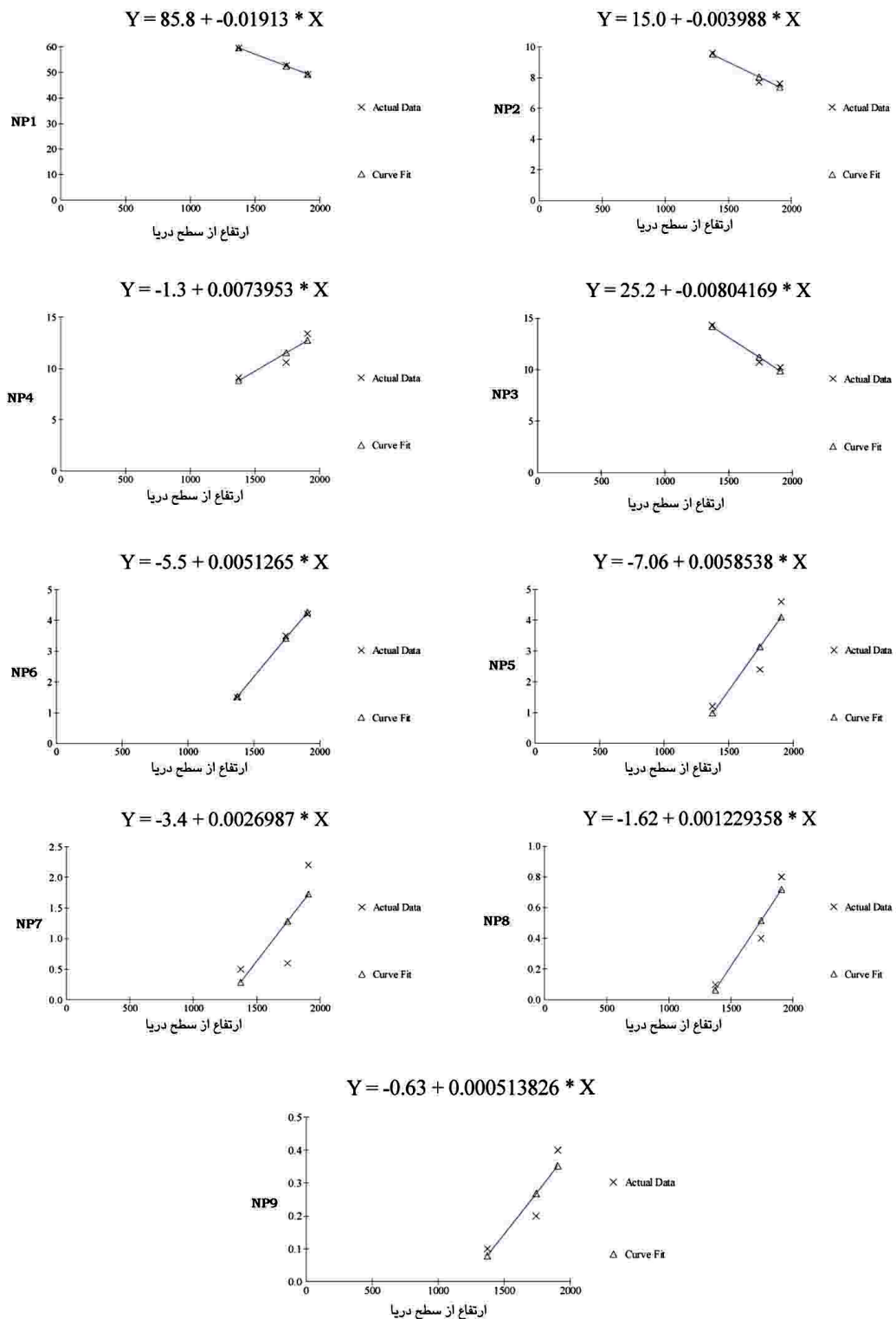
پس از محاسبه‌ی احتمال وقوع هر یکی از وضعیت‌های جوی در طول دوره‌ی آماری در ایستگاه‌های مورد مطالعه به تعیین میزان همبستگی بین هر یکی از وضعیت‌ها با ارتفاع ایستگاه‌ها پرداخته شد. برای محاسبه‌ی میزان همبستگی و معادله رگرسیون از نرم افزار REGRESS 1.0 که توسط دکتراگلین استاد دانشگاه فلوریدای مرکزی آمریکا تهیه شده است استفاده گردید. (شکل ۳) در جدول ۷ نوع و میزان همبستگی وضعیت‌های گوناگون اقلیمی با ارتفاع ایستگاه‌ها در مسیر سنندج - همدان مشخص گردیده است.

**جدول ۷ - نتایج روابط هر یکی از احتمال وقوع وضعیت‌های مختلف اقلیمی (NP<sub>1</sub>-NP<sub>9</sub>) با ارتفاع ایستگاه‌ها**

احتمال وقوع نوع رابطه	NP <sub>1</sub>	NP <sub>2</sub>	NP <sub>3</sub>	NP <sub>4</sub>	NP <sub>5</sub>	NP <sub>6</sub>	NP <sub>7</sub>	NP <sub>8</sub>	NP <sub>9</sub>
میزان همبستگی	۰/۹۹۷۹	۰/۹۳۳۰	۰/۹۶۲۷	۰/۸۵۵۲	۰/۸۵۸۴	۰/۹۹۷۱	۰/۵۶۱	۰/۹۱۲۷	۰/۸۴۲۸
نوع همبستگی	مستقیم	مستقیم	مستقیم	معکوس	معکوس	معکوس	معکوس	معکوس	معکوس

برای تحلیل فضایی و زمانی این شرایط و تعیین محدوده‌های احتمالی یخندهان و لغزندگی از نرم افزار ARC/VIEW استفاده شد.

برای مشخص نمودن زمان آغاز و خاتمه‌ی یخندهان نیز روز ۲۲ آگوست (اول شهریور) را به عنوان روز مبدأ انتخاب کردند و مابقی روزها به ترتیب نسبت به این مبدأ شمارش شدند. برای مثال اگر در یک ایستگاه اولین دمای صفر درجه سانتی‌گراد در روز ۸۳ رخ داده باشد با توجه به روز مبنای ما یعنی روز ۲۲ آگوست (اول شهریور)، معادل با ۱۳ نوامبر (۲۲ آبان) و به همین ترتیب اگر آخرین دمای زیر صفر درجه سانتی‌گراد در روز ۲۰ رخ داده باشد، برابر ۸ آوریل خواهد بود. سپس در مرحله بعد اطلاعات فوق الذکر با توزیع نرمال برآش داده شدند و اقدام به تعیین احتمال وقوع آن‌ها در سطح احتمالاتی ۷۵ درصد گردید. از مدل رگرسیون چند متغیره نیز برای مطالعه رابطه‌ی بین پدیده‌های اقلیمی با ارتفاع و عرض جغرافیایی اقدام گردید و روابط مورد



شکل ۳- روابط بین هر یک از احتمالات با ایستگاه‌های مختلف در مسیر سنندج- همدان

نظر به دست آمد و در مرحله آخر در محیط نرم افزاری SURFER اقدام به تهیه نقشه‌های توزیع مکانی پدیده‌ی یخبندان گردید.

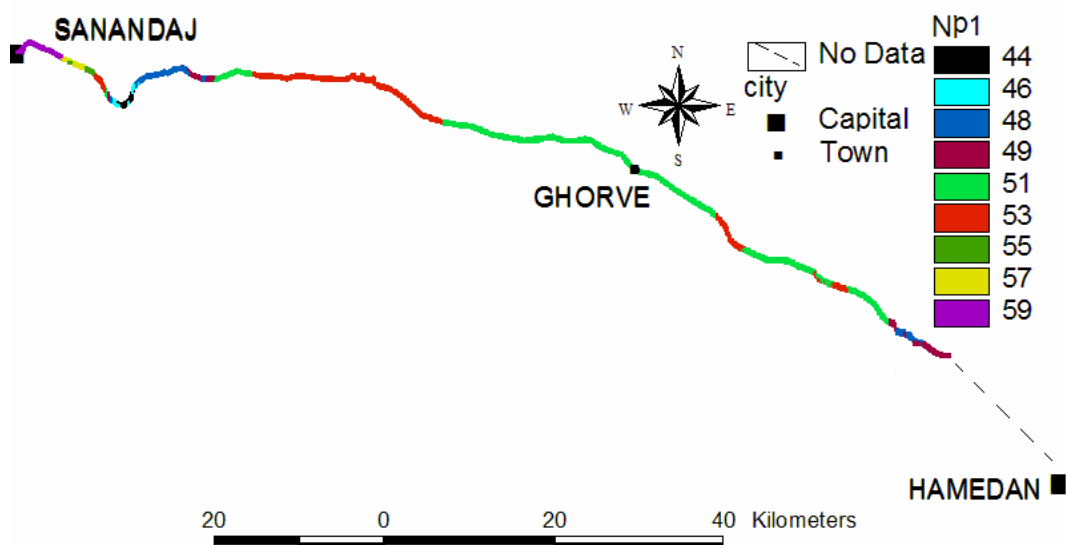
$$\begin{array}{ll} Y = 272 \times (\text{ارتفاع} \times 438) - (\text{عرض جغرافیایی} \times 4.248) & \text{آغاز یخبندان} \\ Y = -16.8 \times (\text{ارتفاع} \times 294) + (\text{عرض جغرافیایی} \times 4.44) & \text{خاتمه یخبندان} \end{array}$$

### تجزیه و تحلیل

همان‌طور که درباره‌ی ماتریس وضعیت‌های اقلیمی توضیح داده شد این ماتریس جهت مشخص نمودن توزیع زمانی وضعیت‌های گوناگون اقلیمی در جاده‌ها به کار می‌رود که نتایج زیر در مورد جاده‌ی سنندج-همدان به دست آمد.

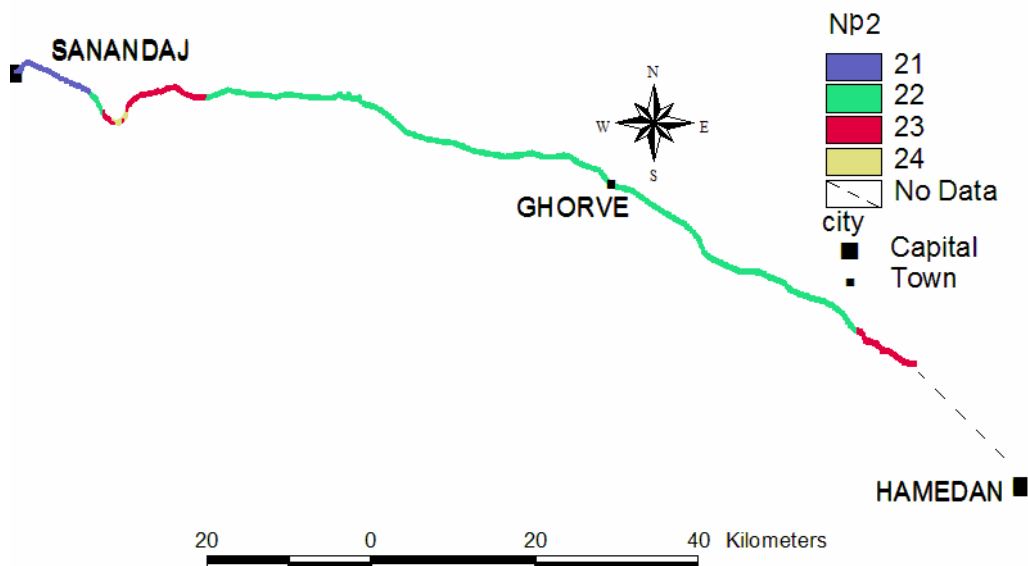
در ماتریس ارائه شده، «N1» وضعیت بدون پدیده را معرفی می‌کند که به طور متوسط ۴۷ درصد روزهای دوره‌ی سرد سال را یعنی از اول اکتبر تا پایان آوریل را شامل می‌شود. چنان‌که ایستگاه سنندج که دارای کمترین ارتفاع این مسیر است با ۱۲۶ روز معادل ۵۹ درصد دارای بیشترین روزهای بدون پدیده و قروه با ۱۰۵ روز معادل ۴۹,۱ کمترین روزهای بدون پدیده این مسیر را دارا هستند (شکل ۴). ماه‌های اکتبر با ۲۵ روز، نوامبر با ۲۱ روز، آوریل با ۱۹ روز و مارس با ۱۸ روز به‌طور میانگین بیشترین روزهای بدون پدیده این مسیر را دارا هستند.

«N2» و «N3» معرف لغزندگی در سطح جاده‌ها می‌باشند که ضریب همبستگی بالایی را با ارتفاع نشان می‌دهند، به‌طوری‌که هرچه بر ارتفاع مسیر افزوده می‌شود، تعداد روزهای لغزندگی افزایش پیدا می‌کند. بیشترین روزهای دارای شرایط لغزندگی در ایستگاه قروه مشاهده می‌شود که آن هم به دلیل ارتفاع بالای این ایستگاه نسبت به ایستگاه‌های دیگر این مسیر است. در حد تعداد روزهایی که این شرایط را در دوره‌ی هفت

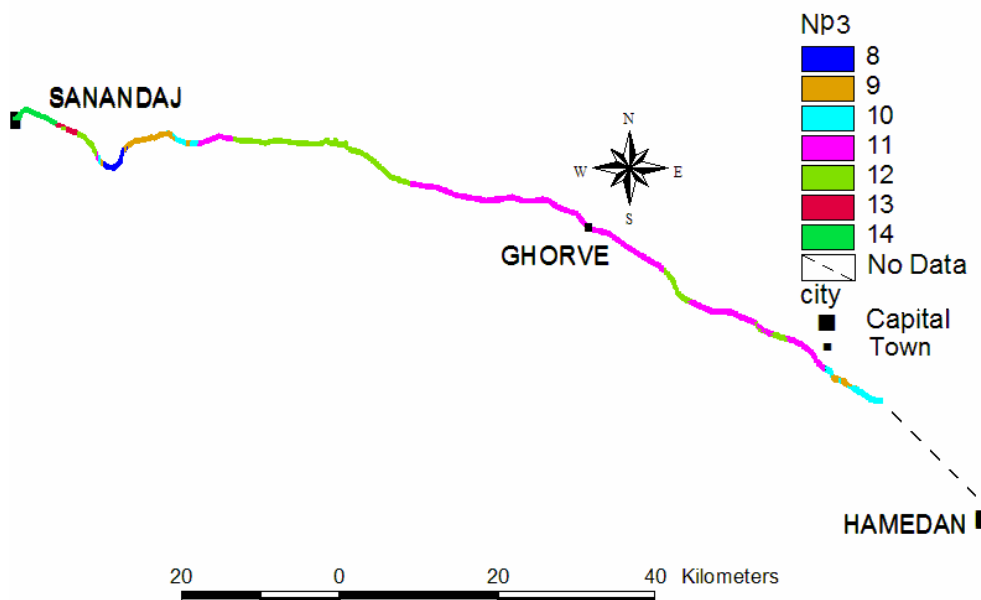


شکل ۴- نقشه‌ی وضعیت اقلیمی N1 در مسیر سنندج - همدان

ماهه‌ی سرد سال به خود اختصاص داده‌اند ۳۲ درصد است که بیشتر در ماههای آوریل (۱۰ روز)، نوامبر (۷ روز) و مارس (۷ روز) مشاهده می‌گردد (شکل‌های ۵ و ۶).

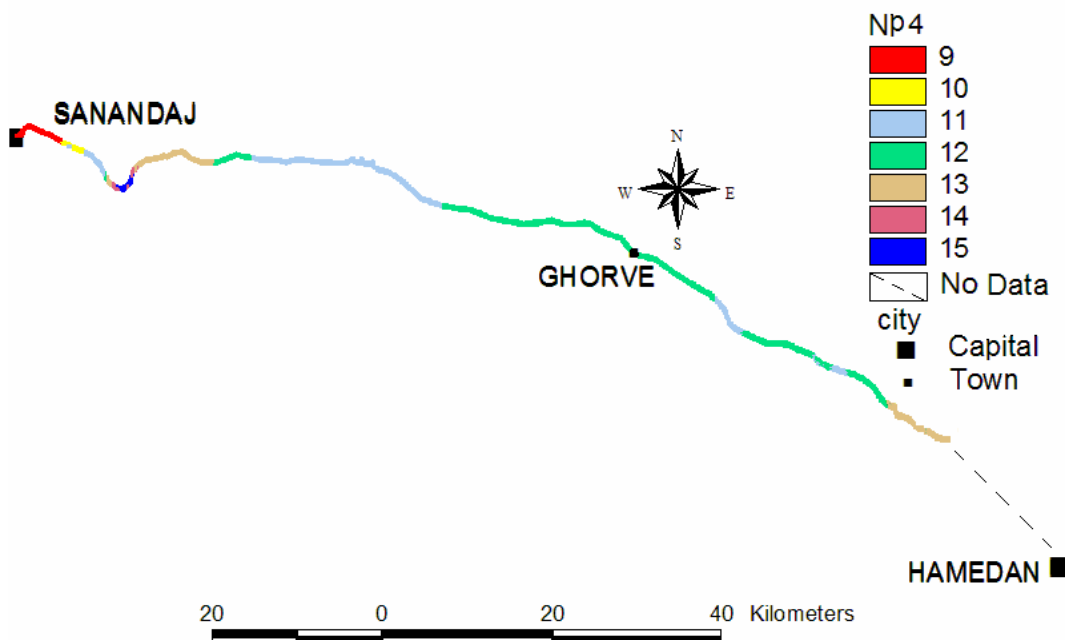


شکل ۵- نقشه‌ی وضعیت اقلیمی N2 در مسیر ستندج به همدان



شکل ۶- نقشه‌ی وضعیت اقلیمی N3 در مسیر ستندج به همدان

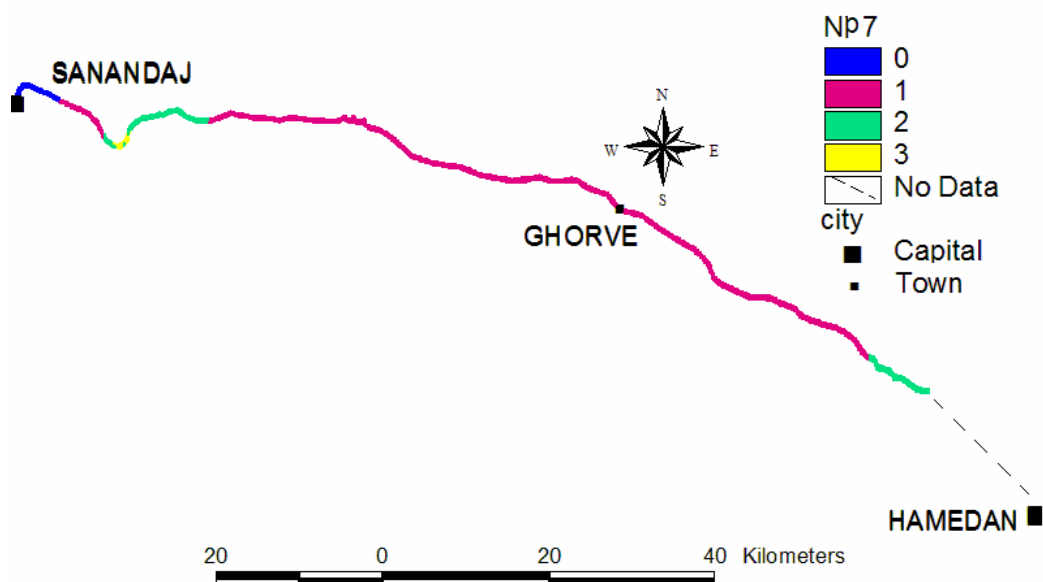
«N4» و «N7» شرایطی را ترسیم می‌نمایند که در آن دمای هوا پایین‌تر از ۲ درجه‌ی سانتی‌گراد می‌باشد. در این دما سطح جاده می‌تواند وضعیت یخبندان به خود بگیرد اما به سبب عدم وجود رطوبت کافی این وضعیت اقلیمی در سطح جاده‌ها حاصل نمی‌شود. اما اگر رطوبت به هر نحوی فراهم شود، یخبندان به ویژه در شرایط اقلیمی «N7» می‌تواند خطرناک باشد. درصد تعداد روزهای دارای این شرایط ۱۴ درصد کل روزهای دوره‌ی ۷ ماهه‌ی سرد سال را شامل می‌شود که بیشتر در ماه‌های ژانویه(۹ روز)، فوریه(۸ روز) و دسامبر(۸ روز) مشاهده می‌گردد.(شکل‌های ۷ و ۸)



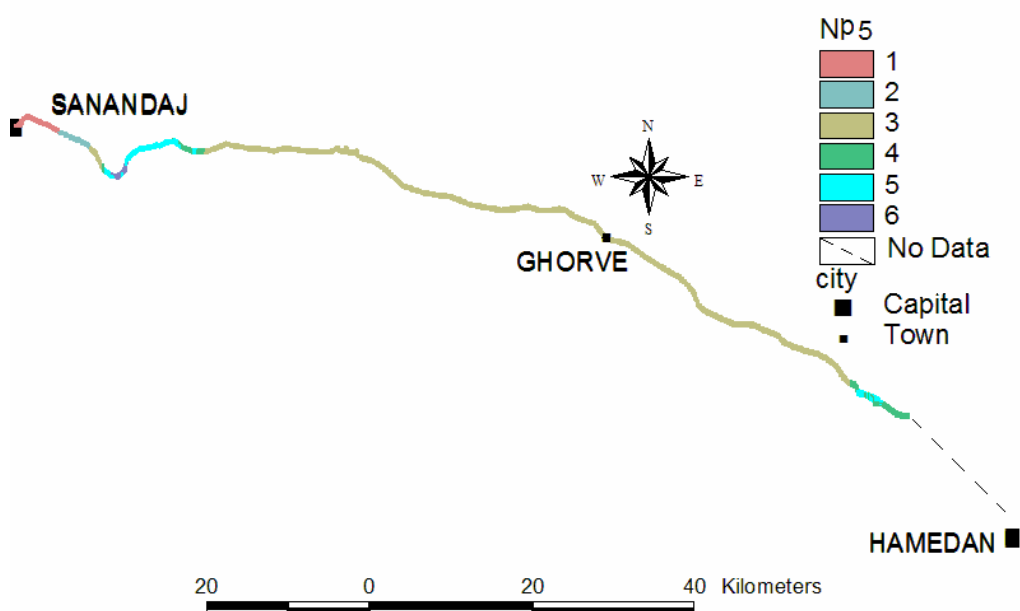
شکل ۷- نقشه‌ی وضعیت اقلیمی N4 در مسیر سنتنچ به همدان

«N6» و «N5» همراه با «N8» و «N9» وضعیت یخبندان را معرفی می‌کنند. یعنی شرایطی که هم درجه حرارت پایین است و هم رطوبت کافی برای به وجود آمدن یخبندان در سطح جاده وجود دارد. در این جا «N5» و «N6» را در یک طبقه با عنوان یخبندان کم خطر و «N8» و «N9» را در طبقه‌ی دیگری با عنوان یخبندان‌های پر خطر قرار می‌دهیم. درصد تعداد روزهای دارای یخبندان کم خطر تنها ۷ درصد تعداد روزهای دوره‌ی سرد سال را دربر می‌گیرد که آن هم بیشتر در ماه‌های ژانویه(۷ روز)، فوریه(۴ روز) و دسامبر(۴ روز) مشاهده می‌شود (شکل‌های ۹ و ۱۰).

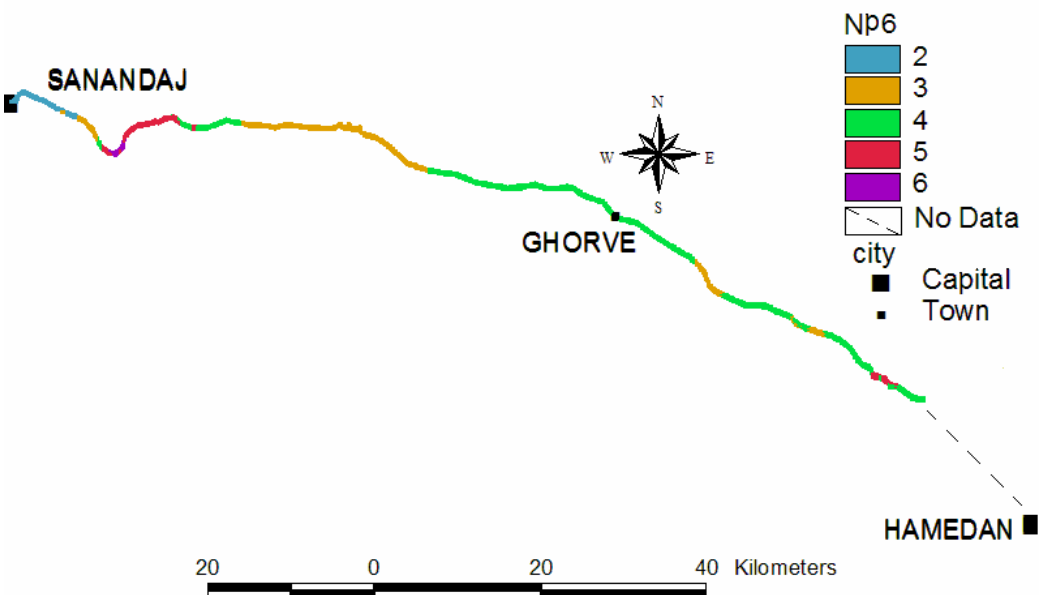
«N8» و «N9» که در طبقه‌ی یخبندان‌های پر خطر قرار داده شده بودند جزء آن دسته از یخبندان‌های هستند که نه تنها برای ایمنی حمل و نقل بلکه برای دیگر امور مربوط به انسان همچون کشاورزی، انتقال انرژی و غیره خطرناک است که در مسیر مورد مطالعه ما بسیار کم و نادر اتفاق می‌افتد. براساس مطالعه‌ی انجام شده در این تحقیق در طول دوره‌ی ده ساله بیشترین تعداد آن در ایستگاه قروه و تنها چهار روز بوده که آن هم فقط در ماه ژانویه اتفاق افتاده است. به عبارت دیگر می‌توان گفت «N8» و «N9» جزء پدیده‌های نادر در این مسیر به شمار می‌روند (شکل‌های ۱۱ و ۱۲).



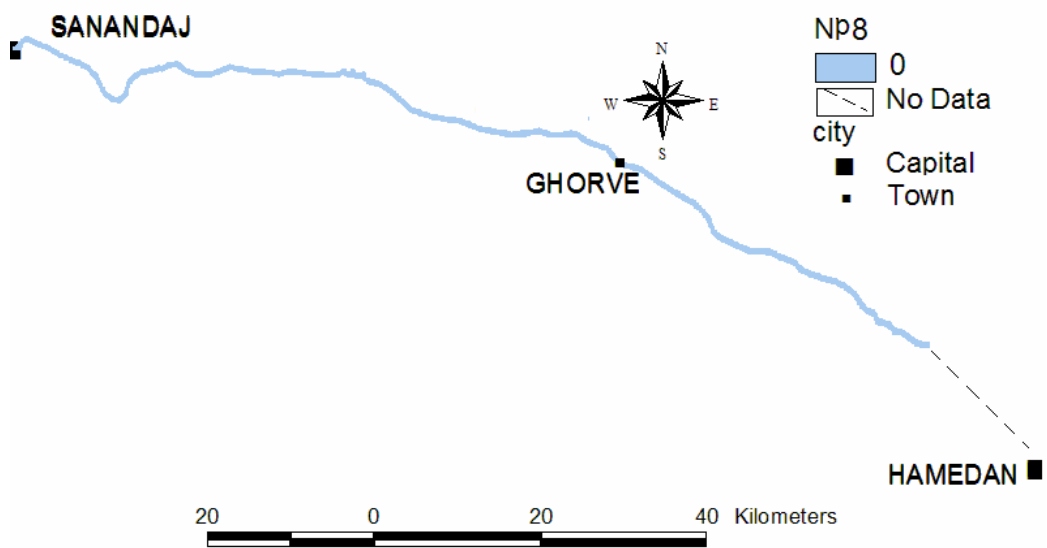
شکل ۸- نقشه‌ی وضعیت اقلیمی N7 در مسیر سنندج به همدان



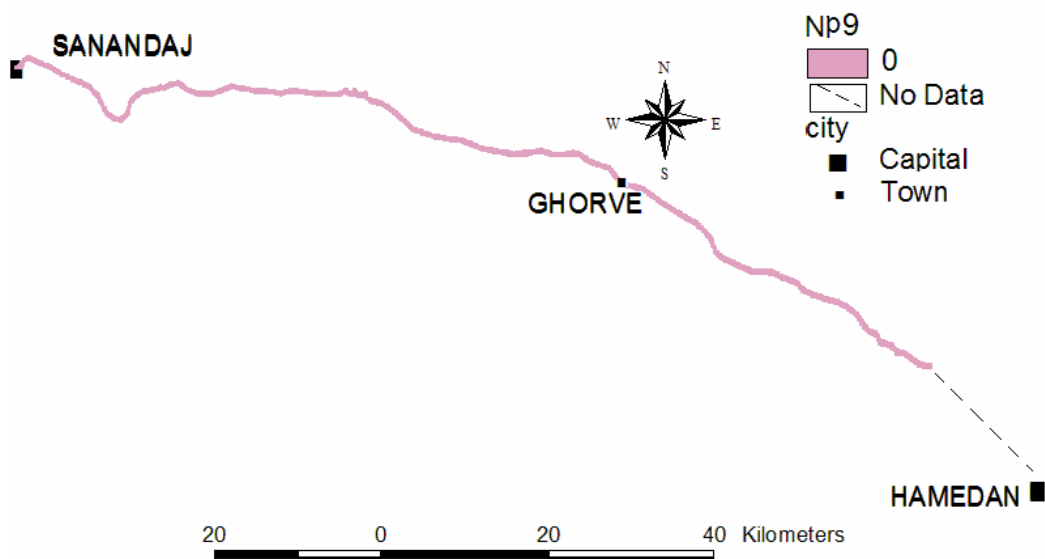
شکل ۹- نقشه‌ی وضعیت اقلیمی N5 در مسیر سنندج به همدان



شکل ۱۰- نقشه‌ی وضعیت اقلیمی N6 در مسیر سنندج به همدان



شکل ۱۱- نقشه‌ی وضعیت اقلیمی N8 در مسیر سنندج به همدان



شکل ۱۲- نقشه‌ی وضعیت اقلیمی N9 در مسیر سنندج به همدان

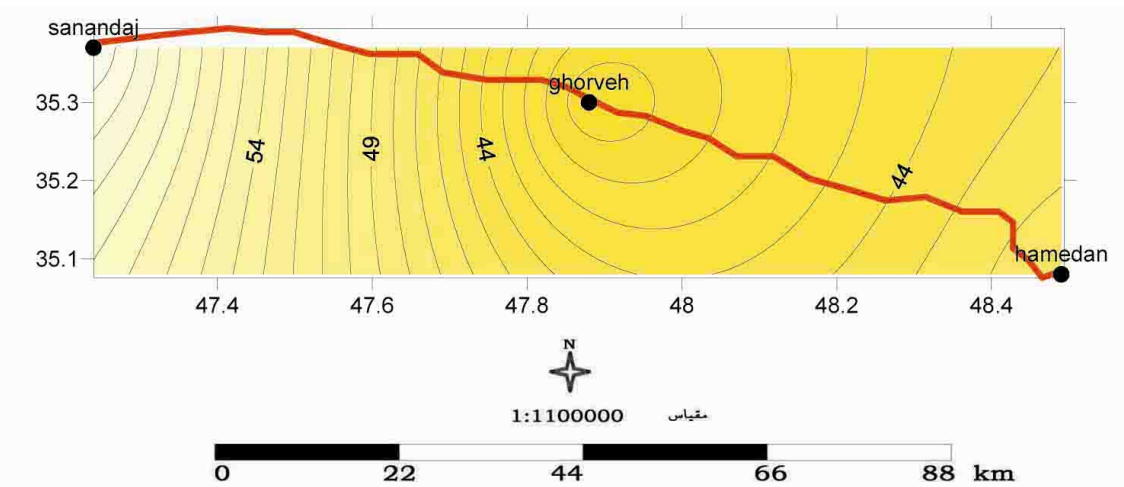
جدول ۸ به طور فشرده، توزیع میانگین ماهانه وضعیت‌های گوناگون اقلیمی را در مسیر سنندج - همدان نشان می‌دهد.

جدول ۸ - توزیع میانگین ماهانه وضعیت‌های گوناگون اقلیمی در مسیر سنندج - همدان

وضعیت‌های اقلیمی ماه	N1	N2	N3	N4	N5	N6	N7	N8	N9
ژانویه	۷	۲	۴	۷	۳	۳	۲	۲	۱
فوریه	۹	۲	۳	۷	۲	۲	۲	۱	۰
مارس	۱۸	۲	۵	۲	۱	۲	۱	۰	۰
آوریل	۱۹	۴	۶	۱	۰	۰	۰	۰	۰
اکتبر	۲۵	۳	۳	۰	۰	۰	۰	۰	۰
نوفمبر	۲۱	۳	۴	۲	۱	۰	۰	۰	۰
دسامبر	۱۳	۳	۳	۶	۲	۲	۲	۰	۰

### جدول ۹- زمان آغاز و خاتمه یخبندان در مسیر سنتنچ به همدان در سطح احتمالاتی٪۷۵

زمان خاتمه‌ی یخبندان	زمان آغاز یخبندان	پارامتر اقلیمی ایستگاه
۱۸ فوریه (۳۰ بهمن)	۲۲ اکتبر (آبان)	سنتنچ
۵ مارس (۱۵ اسفند)	۲۹ سپتامبر (مهر)	قروه
۲۷ فوریه (۹ اسفند)	۱۷ اکتبر (۱۶ مهر)	همدان



شکل ۱۳- نقشه‌ی توزیع مکانی خاتمه یخبندان در مسیر سنتنچ - همدان

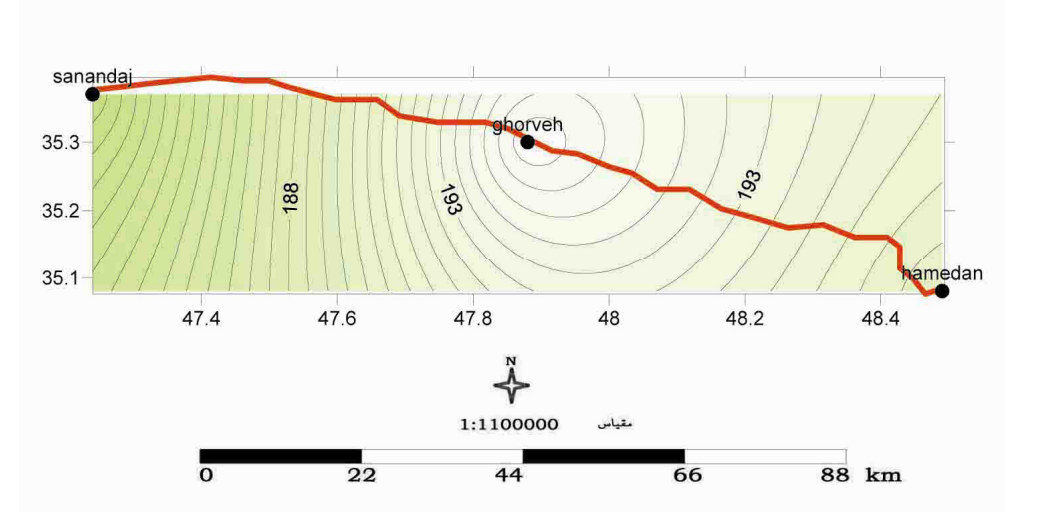
### زمان آغاز و خاتمه‌ی یخبندان در مسیر سنتنچ - همدان

بر اساس محاسبات انجام شده اولین یخبندان در این مسیر عمدتاً در اوخر سپتامبر و اوایل اکتبر روی می‌دهد. به طوری که در ایستگاه قروه وقوع اولین یخبندان در ۲۹ سپتامبر است که دلیل آن نیز ارتفاع زیاد این ایستگاه نسبت به ایستگاه‌های اطراف می‌باشد. زمان وقوع اولین یخبندان‌ها و خاتمه‌ی آن‌ها در هر سه ایستگاه مورد مطالعه در این مسیر در جدول ۸ آورده شده است و توزیع مکانی شروع و خاتمه‌ی آن‌ها نیز با توجه به شرایط مسیر از لحاظ ارتفاعی در شکل‌های (۱۳ و ۱۴) ارائه شده است.

اما بر اساس جدول ۷ تاریخ خاتمه‌ی وقوع یخبندان در اواخر ماه فوریه و اوایل ماه مارس می‌باشد به طوری که تاریخ خاتمه‌ی وقوع یخبندان در این مسیر ۵ مارس و مربوط به ایستگاه قروه است و همانند آغاز یخبندان با فاصله گرفتن ایستگاه قروه زمان خاتمه‌ی یخبندان زودتر رخ می‌دهد چنانچه در ایستگاه سنتنچ این زمان به ۱۸ فوریه کاهش می‌یابد.

### نتیجه‌گیری

بر اساس نتایج به دست آمده از ماتریس وضعیت‌های اقلیمی شرایط «N5»، «N6»، «N8» و «N9» از لحاظ وقوع یخبندان برای تردد وسائط نقلیه جزء شرایط خطرناک هستند که بیشترین تمرکز آن‌ها در این مسیر در ماه‌های ژانویه (۹ روز)، فوریه (۵ روز) و دسامبر (۴ روز) می‌باشند. هرچند یخبندان خیلی زودتر از این‌ها در منطقه شروع می‌شود (اوخر سپتامبر و اوایل اکتبر) و خیلی دیرتر از زمان مورد نظر (اوایل ماه مارس) به



شکل ۱۴ - نقشه‌ی توزیع مکانی خاتمه یخ‌بندان در مسیر سنندج - همدان

پایان می‌رسد. اما یخ‌بندانی که برای این‌نی حمل و نقل ایجاد خطر می‌کند دیرتر از زمان‌های مورد نظر روی می‌دهد (یعنی در ماه دسامبر) و زودتر به پایان می‌رسد. بنابراین برای تمرکز فعالیت‌های راهداری و این‌نی جاده‌ها و کاهش هزینه‌های مربوطه، توجه به توزیع زمانی وضعیت‌های گوناگون اقلیمی ضروری است، که برای مسیر مورد مطالعه ماه ژانویه از لحاظ یخ‌بندان، خطرناک‌ترین ماه به حساب می‌آید. بنابراین برای افزایش این‌نی حمل و نقل در مسیر سنندج - همدان بایستی محدودیت سرعت وسائط نقلیه به خصوص در شب و اوایل صبح از جانب پلیس راه سنندج - همدان با کمک سازمان هواشناسی دو استان کردستان و همدان اعمال گردد. همچنین برای کاهش لغزندگی سطح جاده بهترین روش، استفاده از روش موسوم به «نمک پاشی محتاطانه یا نمک پاشی بازدارنده» است. تکنیک یاد شده عبارت است از این‌که پاشیدن نمک را زودتر آغاز کنیم تا نقش جلوگیری از لغزندگی شدن راه را، به نحو مؤثری ایفا نماید. اجرای صحیح نمک پاشی محتاطانه، در این‌نی راه صد مؤثر است و در این حال مصرف نمک نیز اساساً کاهش پیدا می‌کند.

لازم است سازمان هواشناسی نیز با توجه به توزیع زمانی وضعیت‌های اقلیمی و پیش‌بینی‌های صورت گرفته، هشدارهای لازم را به موقع به استفاده‌کنندگان از جاده انتقال دهد. این هشدارها را برای مسیر سنندج - همدان می‌توان به سه دسته تقسیم نمود:

- ۱- شرایط «N8» و «N9». هشدارشیدید (شرایط سخت پیش‌بینی می‌شود) فقط در ماه ژانویه
- ۲- شرایط «N5» و «N6». هشدار ملایم (شرایط سخت احتمال می‌رود) برای ماه‌های ژانویه، دسامبر و فوریه.
- ۳- شرایط «N4» و «N7». حالت حد پایین (شرایط سخت انتظار نمی‌رود)

#### منابع

- ۱- ادبی، هادی (۱۳۷۳). پنهان‌بندی ایران از نقطه نظر عوامل مؤثر آب و هوایی بر روسازی راه. پایان نامه کارشناسی ارشد، استاد راهنمای: حمید بهبهانی، دانشگاه علم و صنعت.
- ۲- حبیبی نوخدان، مجید (۱۳۷۸). مطالعه‌ی پدیده‌های اقلیمی مؤثر بر تردد و تصادفات جاده‌های کوهستانی و ارائه راهکارهای اجرائی مؤثر(مطالعه موردی جاده هراز). پایان نامه کارشناسی ارشد اقلیم شناسی، دانشگاه آزاد اسلامی واحد تهران مرکزی.

- 
- حبیبی نوخدان ، مجید (۱۳۸۳). آب و هوا و اینمنی جاده‌های کوهستانی ایران (مطالعه موردی جاده‌های هراز و فیروزکوه). رساله دکترای اقلیم شناسی، دانشگاه تهران.
  - عامری، محمود و همکاران (۱۳۷۲). علل خرابی روسازی راه در شب‌های تند. دفتر مطالعات و تحقیقات وزارت راه و ترابری. محمودی، پیمان (۱۳۸۴). بررسی پارامترهای اقلیمی مؤثر بر تردد و تصادفات در جاده‌های کوهستانی (با تأکید بر محور سنتنچ - همدان). پایان نامه کارشناسی ارشد، دانشگاه آزاد اسلامی واحد تهران مرکزی.
  - نقشه‌ی توپوگرافی ۱:۲۵۰۰۰۰ سنتنچ و همدان (۱۳۸۰). سازمان جغرافیایی نیروهای مسلح.

- 6- Carson, J and Mannering (1999). The Traffic of the Ice Warning Signs and Ice Accident and Severity. Accident Analysis and Prevention, NO , 33, pp 89-100.
- 7-Takle, S.E. (1990).Bridge and Roadway Frost: Occurrence and Prediction by Use of an Expert system. Journal of Applied Meteorology, American Meteorological Society. August , Volume 29, Number 8-
- 8- Thornes, J.E. (2002). Performance Audit Method for Winter Maintenance. In 11<sup>th</sup> International Road Weather Conference, Sapporo, Japan.